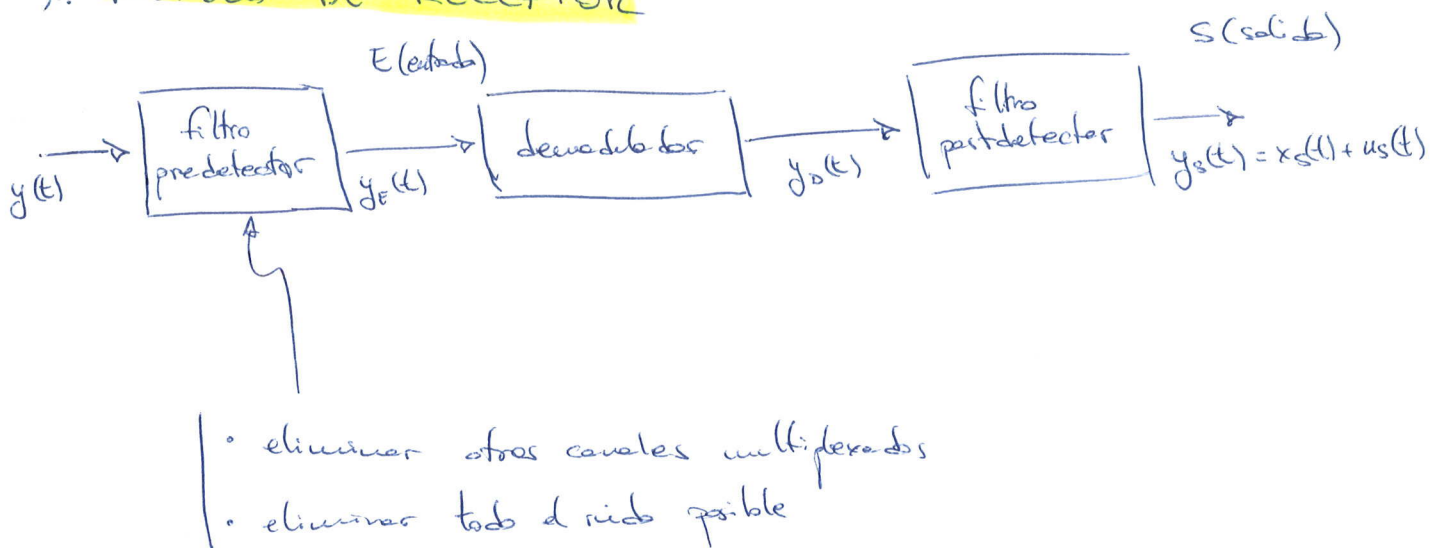


TEMATICA 4: EFECTO DEL RUIDO EN EL

PROCESO DE DEMODULACION

1.- MODELO DE RECEPTOR



$$y(t) = x(t) + u(t) \quad y_E(t) = x(t) + u_E(t) \quad y_D(t) = x_S(t) + u_D(t)$$

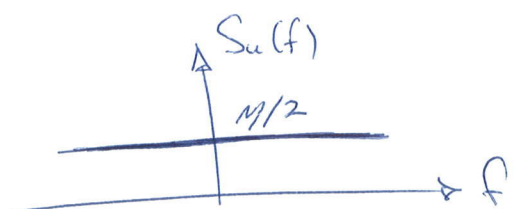
Entrada: $(S/N)_E$: $S_E = P_x = P_R$ (potencia de señal recibida)

$$S_E = \frac{P_{x_F} + P_{x_C}}{2}$$

Ruido: -additivo, estacionario, blanco... \Rightarrow AWGN

$$u(t) \rightarrow S_u(f) = \frac{M}{2}$$

(constante)



$$u_e(t) = \text{ruido paso banda} \Rightarrow S_{u_e}(f) = |H_{\text{PASO}}(f)|^2 \cdot S_u(f)$$

Si $u_e(t) = u_f(t) + j u_c(t)$:

$$S_{u_f}(f) = S_{u_c}(f) = S_{u_e}^+(f+f_c) + S_{u_e}^-(f-f_c)$$

$\rightarrow S_{u_{fc}}(f) = j(S_{u_e}^+(f+f_c) - S_{u_e}^-(f-f_c)) = 0$

componentes en fase y cuadratura del ruido estar incoherentes

$$S_{u_s}(f) = |H_{\text{PASO}}(f)|^2 S_{u_f}(f)$$

Audios de banda:

- predetección: $B_{\text{PRE}} = B_T$ (banda de la señal modulada)

- postdetección: $B_{\text{POST}} = W$ (banda de la señal paso bajo)

Ganancia del proceso:

$$G_p = \frac{(S/N)_S}{(S/N)_E}$$

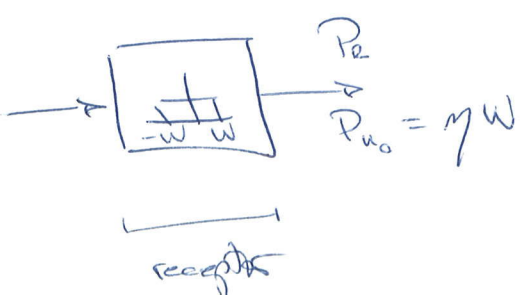
Eficiencia espectral:

$$\epsilon = \frac{W}{B_T}$$

relación señal a ruido si no hubiera medición

(en banda base):

$$(S/N)_{BB} = \frac{P_R}{\gamma \cdot W}$$



2.- RUIDO EN MODULACIONES LINEALES

En un sistema no lineal, la adición de ruido a la entrada produce una mezcla que no define claramente la distinción entre señal y ruido.

A lo largo los contenidos en los receptores lineales.

2.1.- DEMODULACIÓN COHERENTE

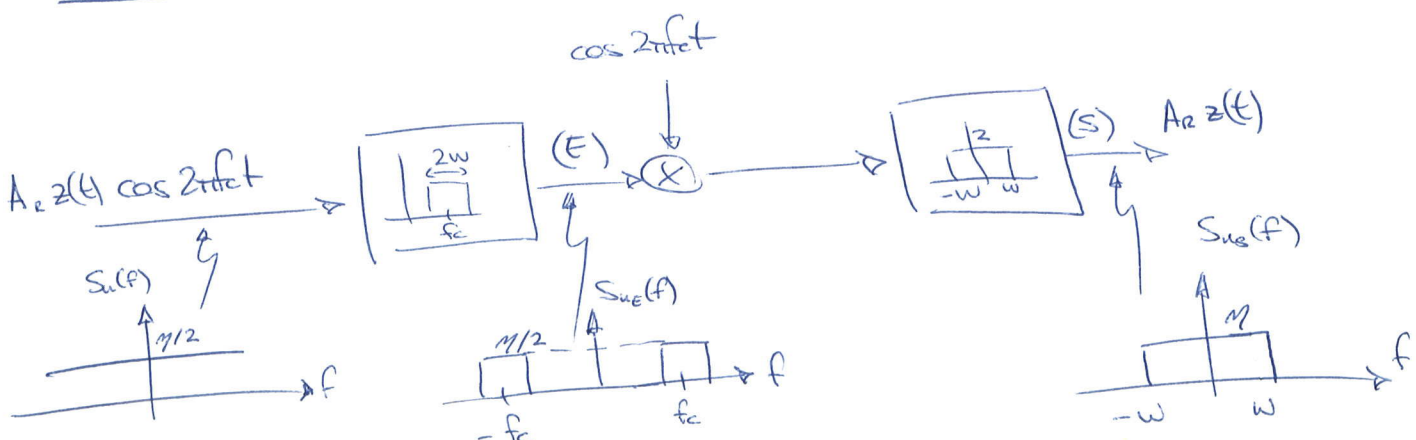
caso ideal: filtros pre/postdetección ideales

$$\Rightarrow \begin{cases} \text{la señal pasa sin distorsión} \\ \text{el ruido atenuado} \end{cases}$$

El demodulador coherente de las modulaciones lineales se puede ver como lineal y varía con el tiempo.

En el modelo de receptor usamos ruido blanco gaussiano. También encontramos un filtro de pre-detección, que es más que un filtro paso banda.

- análisis DBL:



Potencia a 6 entradas (\bar{E}):

$$\left. \begin{array}{l} P_E = P_R = \frac{A_2^2}{2} P_2 \quad (\text{filtro ideal}) \end{array} \right\}$$

$$N_E = 2 \left(2 \eta \frac{W}{2} \right) = 2 \eta W$$

$$\Rightarrow \boxed{\left(\frac{S}{N} \right)_E = \frac{P_E}{2 \eta W} = \frac{A_2^2 P_2}{4 \eta W}} \quad \textcircled{*}$$

Potencia a 6 salidas (S):

$$\left. \begin{array}{l} P_S = 2 P_R = A_2^2 P_2 \end{array} \right\}$$

$$N_S = N_E = 2 \eta W$$

$$\Rightarrow \boxed{\left(\frac{S}{N} \right)_S = \frac{P_S}{\eta W} = \frac{A_2^2 P_2}{2 \eta W}} \quad \textcircled{*}$$

Ganancia del proceso:

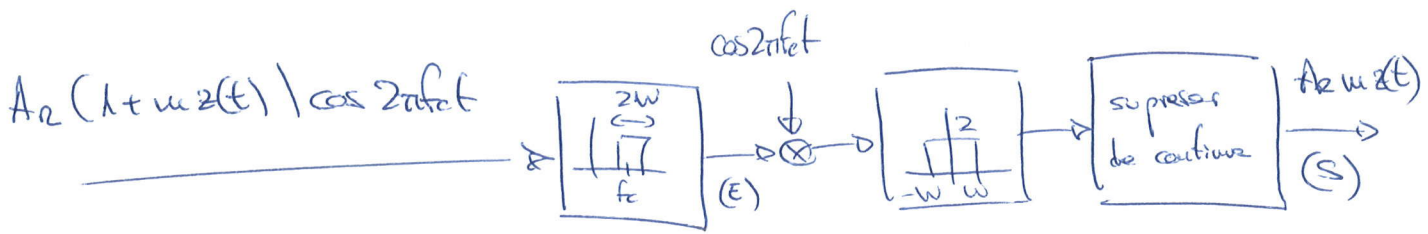
$$\boxed{G_p = \frac{\left(\frac{S}{N} \right)_S}{\left(\frac{S}{N} \right)_E} = 2} \quad \textcircled{*}$$

$$\frac{\left(\frac{S}{N} \right)_{DBL}}{\left(\frac{S}{N} \right)_{BB}} = \frac{\frac{P_S}{\eta W}}{\frac{P_R}{\eta W}} = 1 \xrightarrow{\text{DBL no mejora el S/N}}$$

Eficiencia espectral:

$$\boxed{\mathcal{E} = \frac{W}{B_T} = 1/2}$$

- modelado AM:



Potencia a la salida: (E)

$$P_E = P_R = \frac{A_r^2}{2} (1 + u^2 P_2)$$

$$N_E = 2\eta W$$

$$(S/N)_E = \frac{P_R}{2\eta W} = \frac{A_r^2 (1 + u^2 P_2)}{4\eta W}$$

(*)

Potencia a la salida (S):

$$P_S = A_r^2 u^2 P_2$$

$$N_S = N_E = 2\eta W$$

$$(S/N)_S = \frac{A_r^2 u^2 P_2}{2\eta W} = \frac{P_R}{\eta W} \cdot \frac{u^2 P_2}{1 + u^2 P_2}$$

(*)

$$(S/N)_S = \frac{A_r^2 u^2 P_2}{2\eta W} = \frac{2P_R - A_r^2}{2\eta W}, \quad A_r^2 = \frac{2P_R}{1 + u^2 P_2}$$

$$P_S = 2P_R \left(1 - \frac{1}{1 + u^2 P_2} \right) = 2P_R \frac{\frac{u^2 P_2}{1 + u^2 P_2}}{1 + u^2 P_2}$$

comprobando:

$$\frac{(S/N)_{AN}}{(S/N)_{BB}} = \frac{\omega^2 P_2}{1 + \omega^2 P_2} < 1/2$$

la relación se reduce la mitad → indexos peor.

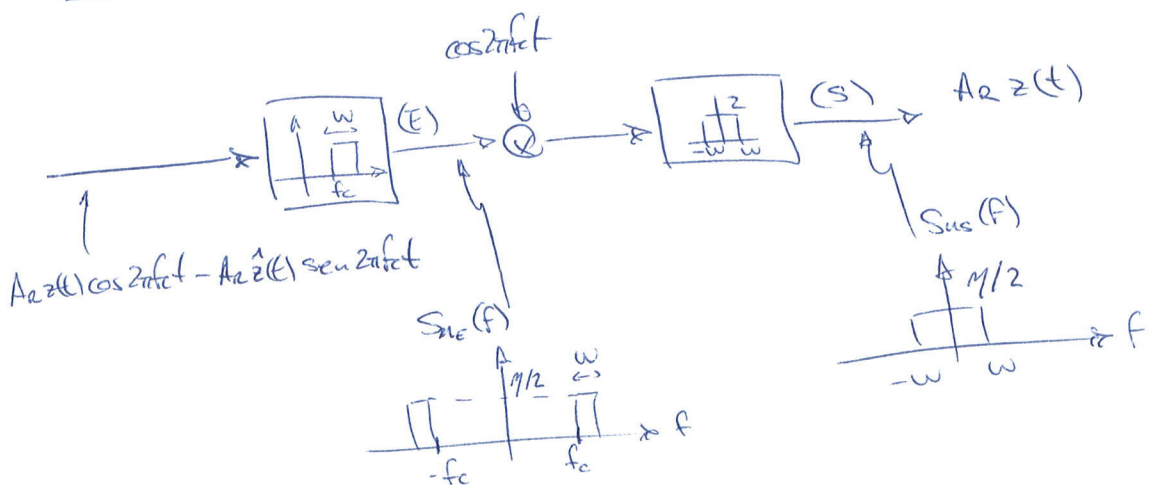
Ganancia de proceso:

$$G_p = \frac{(S/N)_S}{(S/N)_E} = 2 \frac{\omega^2 P_2}{1 + \omega^2 P_2} < 1 \quad (*)$$

Eficiencia espectral: $\epsilon = 1/2$

(S/N) baja porque se destina mucha potencia a transmitir la portadora.

- modulación BLS:



Potencias a la entrada (E):

$$\left\{ \begin{array}{l} P_E = P_R = \frac{A_R^2 P_2}{2} + \frac{A_R^2 P_2}{2} = A_R^2 P_2 \end{array} \right.$$

$$N_E = 2 \cdot W \frac{M}{2} = W \gamma$$

$$\boxed{(S/N)_E = \frac{P_R}{\eta W} = \frac{A_R^2 P_2}{\eta W}} \quad \textcircled{*}$$

Potencias a la salida (S):

$$\left\{ \begin{array}{l} P_S = P_R = A_R^2 P_2 \\ N_S = N_E = \gamma W \end{array} \right. \Rightarrow \boxed{(S/N)_S = \frac{P_R}{\eta W} = \frac{A_R^2 P_2}{\eta W}} \quad \textcircled{*}$$

Ganancia de proceso:

$$\boxed{G_p = 1} \quad \textcircled{*}$$

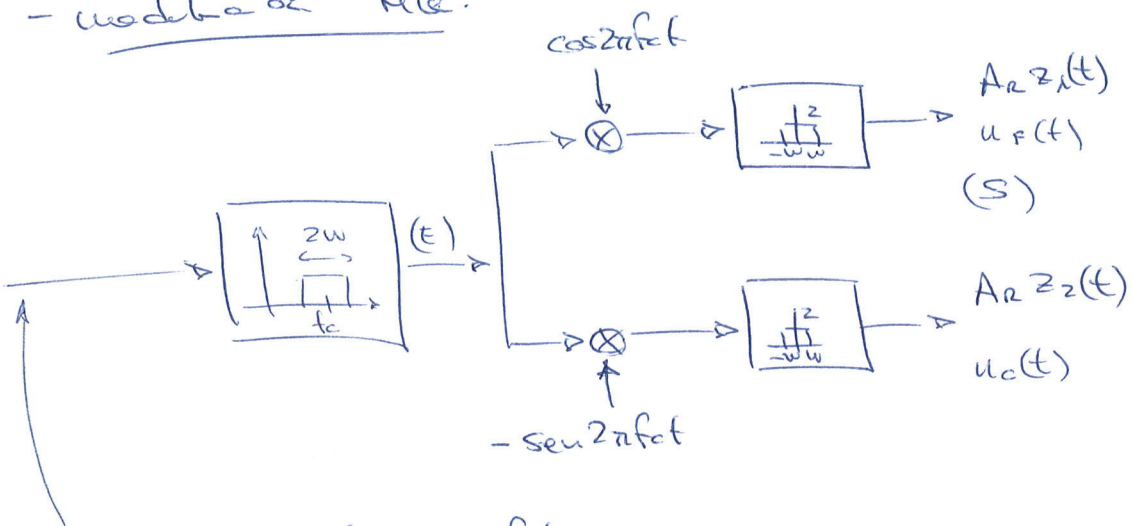
$$\boxed{\frac{(S/N)_{BLU}}{(S/N)_{BB}} = 1}$$

Eficiencia espectral: $\boxed{E = 1}$

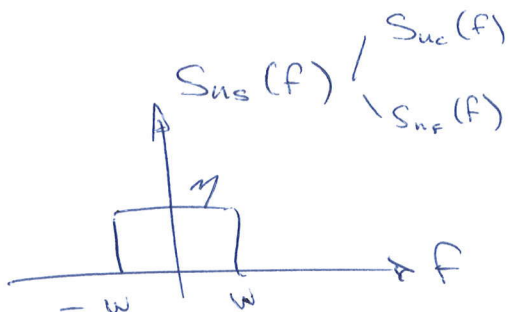
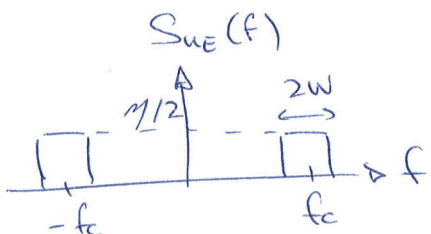
- modelación BLR:

La SNR depende del espectro del pseudoframeador de Hilbert. Por ello, se van a obtener expresiones cerradas.

- modelación MQ:



$$A_r z_1(t) \cos 2\pi fct - A_r z_2(t) \sin 2\pi fct$$



Potencias a los estados (E):

$$\left. \begin{aligned} P_E &= P_R = A_r^2 P_2 \\ (P_2 &= P_{z1} + P_{z2}) \\ N_E &= 2\gamma W \end{aligned} \right\}$$

$$\Rightarrow \boxed{(\text{S/N})_E = \frac{P_R}{2\gamma W} = \frac{A_r^2 P_2}{2\gamma W}}$$

Potencias en la salida (S) :

$$\left\{ \begin{array}{l} P_{S1} = P_{S2} = A_2^2 P_2 \\ N_S = N_E = 2 \gamma W \end{array} \right. \Rightarrow \boxed{\left(\frac{S}{N} \right)_S = \frac{P_R}{2 \gamma W} = \frac{A_2^2 P_2}{2 \gamma W}}$$

Ganancia de proceso : $\boxed{G_P = 1}$

$$\left\{ \begin{array}{l} \frac{(S/N)_{HQ}}{(S/N)_{BB}} = 1 \end{array} \right.$$

Potencia en banda base :

- 50% $z_1(t)$
- 50% $z_2(t)$

Lo que en HQ es P_R , en banda base es $P_R/2$

para cada una de las señales.

Con HQ no se pierde nada, pero se alterna

espectro.

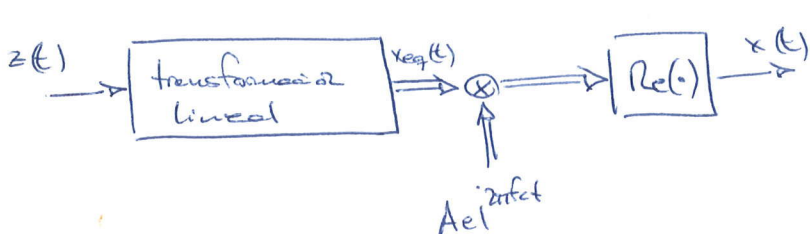
Resumen de rendimiento coherente:

	$\frac{(S/N)_S}{(S/N)_{BB}}$	G_P	E
DBL	1	2	1/2
AM	$\frac{w^2 P_2}{1+w^2 P_2} < 1/2$	$2 \frac{w^2 P_2}{1+w^2 P_2} < 1$	1/2
BLU	1	1	1
VUQ	1	1	1

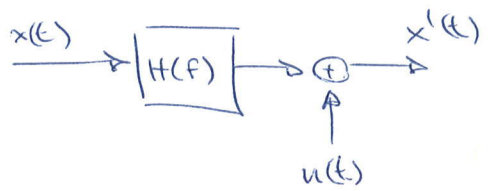
- FILTROS NO IDEALES

Ahora se considera que los filtros de pre y postdetección no son ideales \Rightarrow distorción de la señal

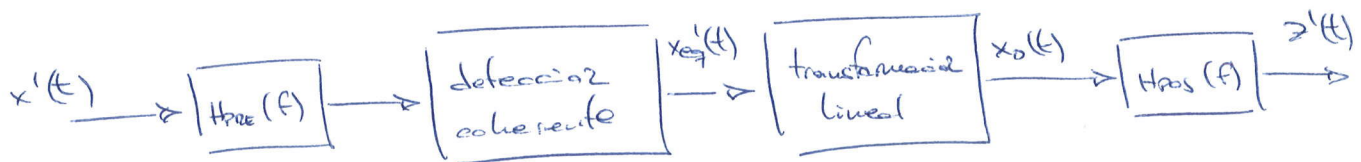
transmisor:



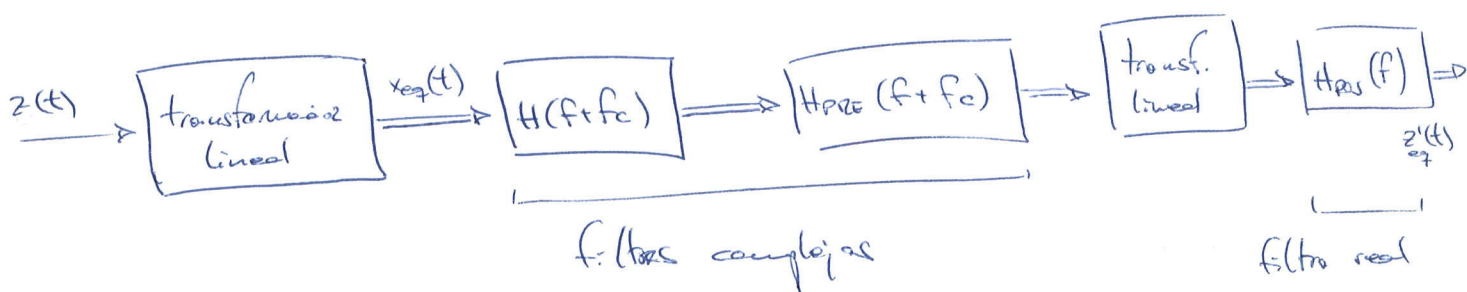
canal:



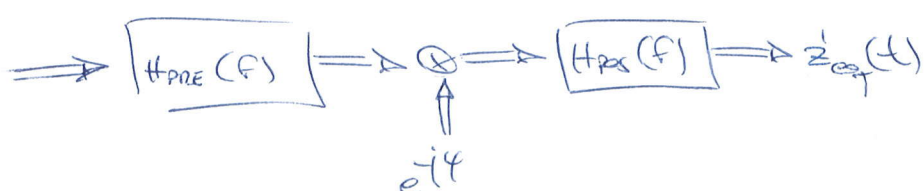
receptor:



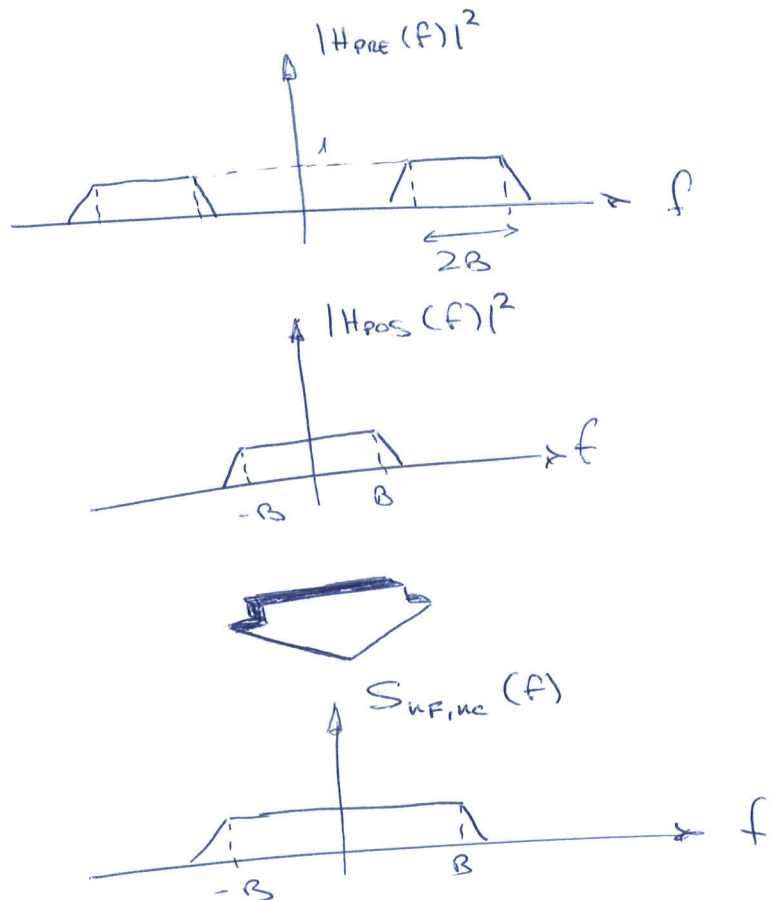
Sistema equivalente, desplazando los filtros al origen:



Se puede sustraer un error de fase de postdetección:



También se puede considerar que los filtros no
distorsionan la señal, sólo que tienen exceso
de atenuación de banda:



$$S_{n_{\text{eq}}}(f) = S_{n_f}(f) |H_{\text{POS}}(f)|^2$$

$$P_{n_{\text{eq}}} = 2 \int_0^B S_{n_f}(f) |H_{\text{POS}}(f)|^2 df$$

-Comportamiento de receptores no lineales frente al ruido:

En principio, no tiene sentido hablar de SNR en sistemas no lineales.

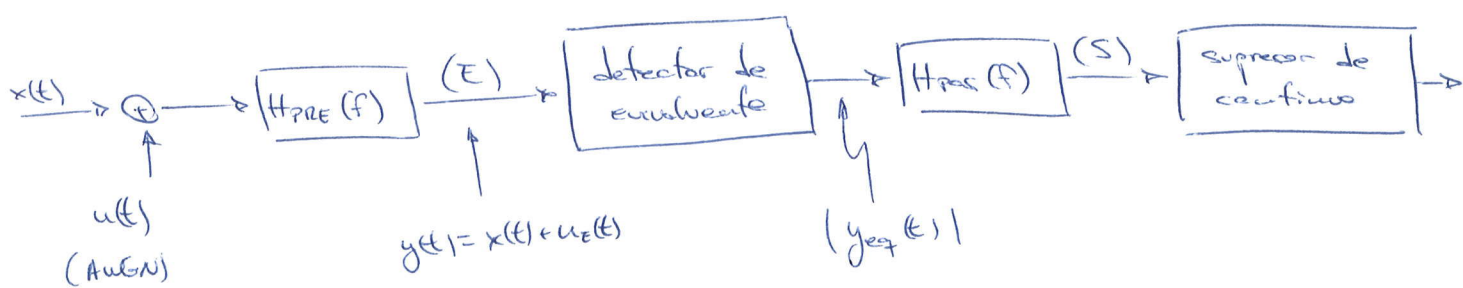
En caso de tener un buen SNR tras el filtro de predetección, se puede linearizar la respuesta, lo que hace que si se pueden diferenciar los componentes de ruido y señal.

Para ello, hay un umbral de SNR a la salida del filtro de predetección, por debajo del cual no se puede considerar lineal.

2.2.- DETECCIÓN INCOHERENTE

(Detector de envolvente)

Para AIR:



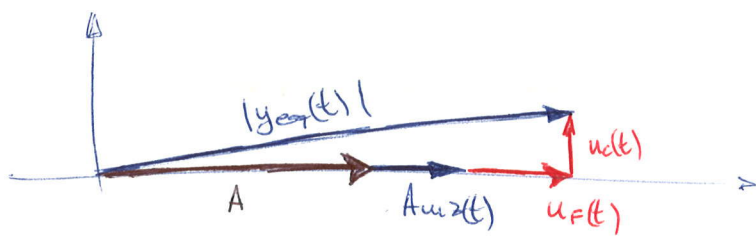
$$x_{eq}(t) = A(\mu_{eq}(t)) \quad \left\{ \begin{array}{l} y_{eq}(t) = x_{eq}(t) + u_{eq}(t) \\ u_{eq}(t) = u_F(t) + j u_Q(t) \end{array} \right.$$

$$y(t) = A(1 + u_2(t)) \cos 2\pi f_c t + u_F(t) \cos 2\pi f_c t - u_c(t) \sin 2\pi f_c t$$

$$= \operatorname{Re} \left\{ y_{eq}(t) e^{j2\pi f_c t} \right\}$$

$$y_{eq}(t) = A(1 + u_2(t)) + u_F(t) + j u_c(t)$$

$$|y_{eq}(t)| = \sqrt{(A(1 + u_2(t)) + u_F(t))^2 + (u_c(t))^2}$$



En esta expresión se refleja el efecto de un sistema no lineal sobre la suma de señal y ruido

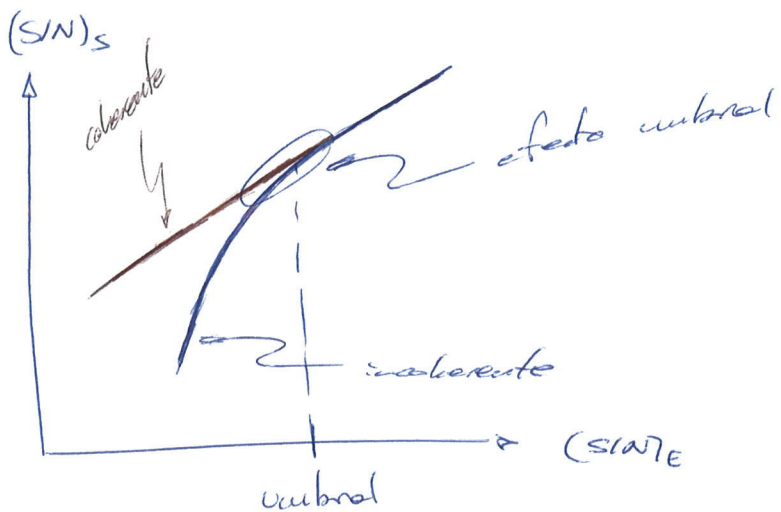
$(S/N)_e \gg 1 \Rightarrow$ se puede linearizar (la potencia de la señal es muy superior al ruido)

En este caso, la hipotenusa se confunde con el efecto nulo, y es el "aproximado caso".

$$|y_{eq}(t)| \approx A(1 + u_2(t)) + u_F(t)$$

Es la misma expresión que se obtiene para un demodulador cohete

Valores prácticos: $(S/N)_E > 10 - 13 \text{ dB}$

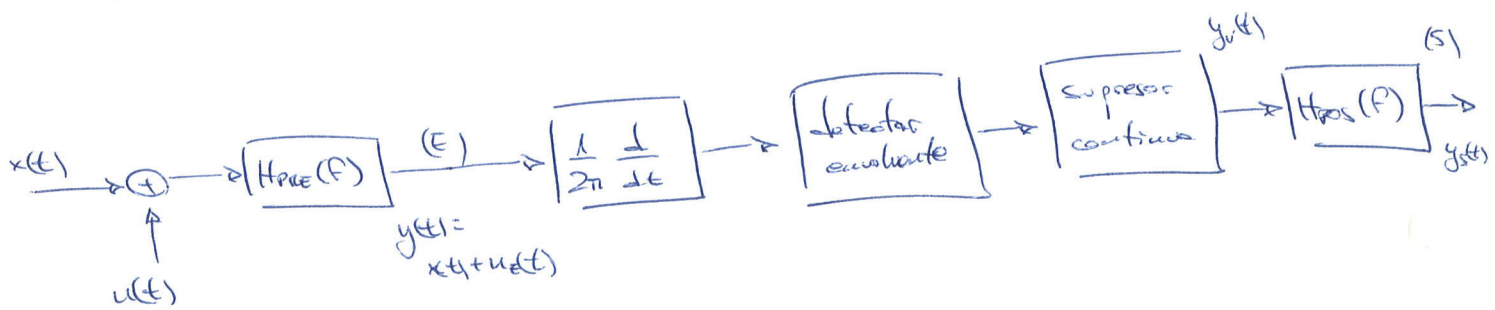


$$(S/N)_S = \frac{P_E}{\gamma B} \cdot \frac{m^2 P_2}{1 + m^2 P_2}$$

3.- RUIDO EN MODULACIONES ANGULARES

- Decodificador FM:

Admitir facilidad de la linearización sobre SNR



$$x(t) = \operatorname{Re} \left\{ A e^{j\phi(t)} e^{j2\pi f_c t} \right\} = A \cos(2\pi f_c t + \phi(t))$$

$$\frac{1}{2\pi} \frac{d\phi(t)}{dt} = f_a z(t)$$

$$u_E(t) = \operatorname{Re} \left\{ (u_r(t) + j u_i(t)) e^{j2\pi f_c t} \right\} = \operatorname{Re} \left\{ A u(t) e^{j\phi_u(t)} e^{j2\pi f_c t} \right\}$$

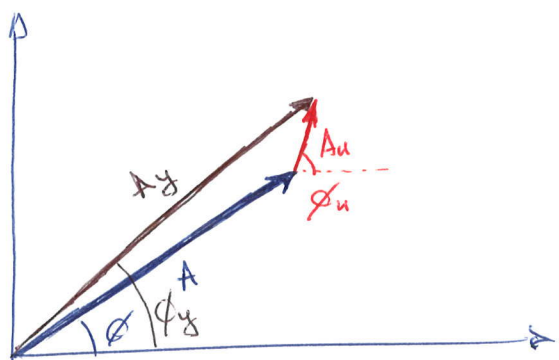
equivalente para la ip
del ruido en forma polar

Si la señal $x(t)$ es $BW = W$, el filtro de predetección deberá tener: $B_{\text{pred}} = 2(D+1)W$

y el filtro de postdetección: $B_{\text{post}} = W$

$$y(t) = x(t) + u_e(t) = y_{\text{eq}}(t) \cos(2\pi f_c t + \phi_y(t)) = \\ = \text{Re} \left\{ y_{\text{eq}}(t) e^{j\phi_y(t)} e^{j2\pi f_c t} \right\}$$

$$|y_{\text{eq}}(t)| e^{j\phi_y(t)} = A e^{j\phi(t)} + A_u e^{j\phi_u(t)}$$



$$|y_{\text{eq}}(t)| = \sqrt{(A + A_u \cos(\phi_u - \phi))^2 + A_u^2 \sin^2(\phi_u - \phi)}$$

relación no lineal

En este caso, la información va a ser la envolvente, sinón en la fase.

Si la señal es más señal que ruido, se puede aproximar la envolvente por una constante:

$$A \gg A_u(t) \Rightarrow |y_{\text{eq}}(t)| \approx A$$

$$(S/N)_e \gg 1$$

$$\boxed{\phi_y(t) = \phi(t) + \phi_x(t) = \phi(t) + \arctan \frac{A \sin(\phi_0 - \phi)}{A + A \cos(\phi_0 - \phi)} \underset{A \gg A_0(t)}{\approx} \left\{ \begin{array}{l} \text{A} \\ \text{A} \end{array} \right\} \text{A} \gg A_0(t) \quad \left\{ \begin{array}{l} \text{A} \\ \text{A} \end{array} \right\}$$

$$\approx \phi(t) + \frac{A_0(t) \sin(\phi_0(t) - \phi(t))}{A} = \left\{ \begin{array}{l} \sin(\phi_0(t) - \phi(t)) = \sin(\omega t) \end{array} \right\} \quad (*)$$

$$= \phi(t) + \frac{A \sin \phi_0(t)}{A} = \phi(t) + \frac{u_0(t)}{A} \quad \boxed{\quad}$$

\Rightarrow este de fe é Praekis

$$\boxed{\phi_y(t) \approx \phi(t) + \frac{u_0(t)}{A}}$$

$$\boxed{y(t) \approx A}$$

$$\phi(t) = 2\pi f \Delta \int_0^t z(\tau) d\tau$$

↓ obivio deor

$$y(t) = A \cos(2\pi f_c t + \phi_y(t)) = A \cos(2\pi f_c t + \phi(t) + \frac{u_0(t)}{A})$$

$$\frac{1}{2\pi} \frac{dy(t)}{dt} = -A \left(f_c + f_\Delta z(t) + \frac{1}{2\pi A} \frac{d u_0(t)}{dt} \right) \sin(2\pi f_c t + \phi(t) + \frac{u_0(t)}{A})$$

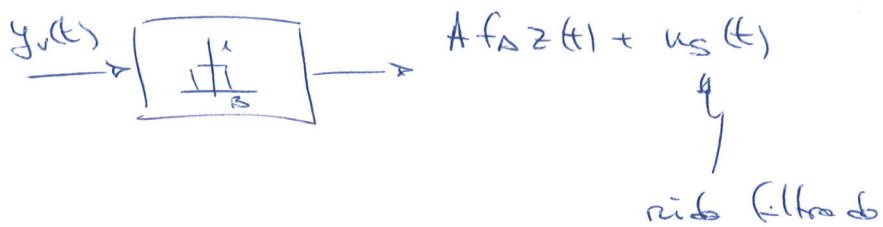
↓ envelente

↓ supressor de continua + detecção da envelente

$$y_v(t) = A \cdot f_\Delta \cdot z(t) + \frac{1}{2\pi} \frac{du_0(t)}{dt}$$

↓ $u_v(t)$

Poderemos hacer un filtro de postdefecto:

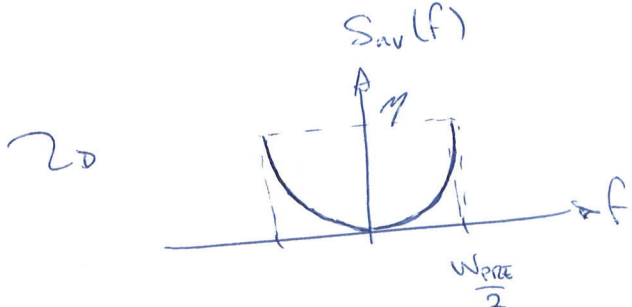
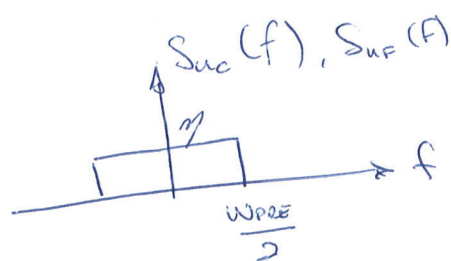
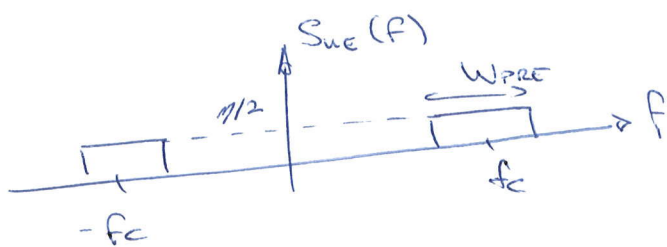


Prestaciones:

$$S = A^2 f_d^2 P_2 = 2P_2 f_d^2 P_2$$

$$P_2 = P_x = \frac{A^2}{2}$$

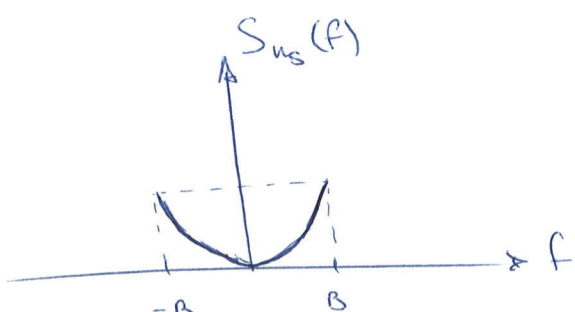
DEP del niño o la entrada:



$$S_{nv}(f) = f^2 S_{uc}(f) = f^2 \gamma \quad |f| \leq W_{PERE}/2$$

Trae el filtro de postdefecto:

$$P_{us} = 2 \int_0^B \gamma f^2 df = \frac{2}{3} \gamma B^3$$



$$(S/N)_s = \frac{P_R}{\eta B} \cdot 3 \left(\frac{f_A}{B} \right)^2 P_2$$

\oplus
 $D = \frac{f_A}{B}$ índice de modulación

$$\frac{(S/N)_s}{(S/N)_{BR}} = 3D^2 P_2$$

una característica de FM: la SNR a la salida puede ser mejor que en banda base

(increyéndolo f_A se puede mejorar la SNR, o sea de usar más ancho de banda:

$$W = 2(D+1)B$$

la mejora se puede hacerse indefinidamente:

$$(S/N)_e = \frac{P_R}{\eta W_{PRE}} = \frac{P_R}{\eta 2(D+1)B}$$

\star

Si DAP, aumenta la potencia de ruido a la entrada, y si se aumenta P_R , empieza a empeorar la SNR.

Si se baja el ancho, no será válida la expresión anterior.

$$\boxed{G_p = \frac{(S/N)_s}{(S/N)_e} = 6(D+1)D^2 P_2}$$

Q

El umbral típico en FM es sobre 10 a 15 dB

Algunas receptores permiten bajar el umbral.

- Comparativa FM-modulación lineal en banda base:

$$\underline{\text{Banda base:}} \quad (S/N)_s = \frac{P_R}{\eta \cdot B}$$

Se puede mejorar la SNR aumentando la potencia transmitida:

$$P_T \uparrow +3dB \Rightarrow S/N \uparrow +3dB$$

$$\underline{\text{FM:}} \quad (S/N)_s = \frac{P_R}{\eta B} 3D^2 P_2$$

Se puede mejorar:

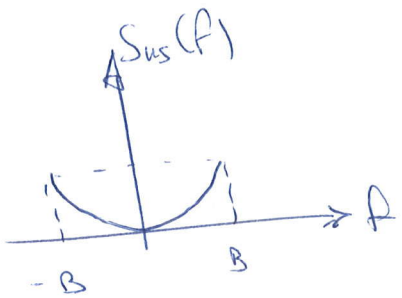
- incrementando D
- incrementando P_R

$$\begin{aligned} P_T \uparrow +3dB & \\ D \uparrow \times 2 & \end{aligned} \quad \left\{ \begin{array}{l} \text{no afecta a la SNR a la entrada, y a la salida} \\ \text{se incrementa en un factor 8 (+9dB)} \end{array} \right.$$

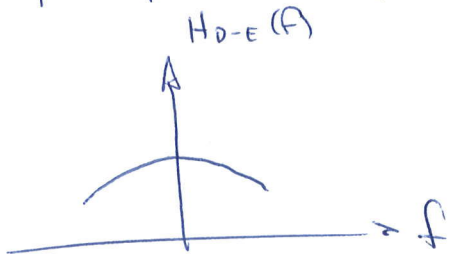
3.1. - PREÉNFAISIS Y DEÉNFAISIS

Objetivo: mejorar la SNR

Se basa en que las formas del ruido a la salida
se modifica:



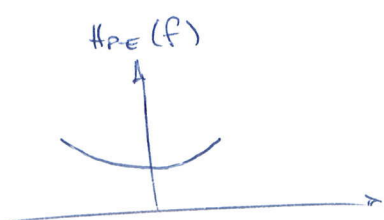
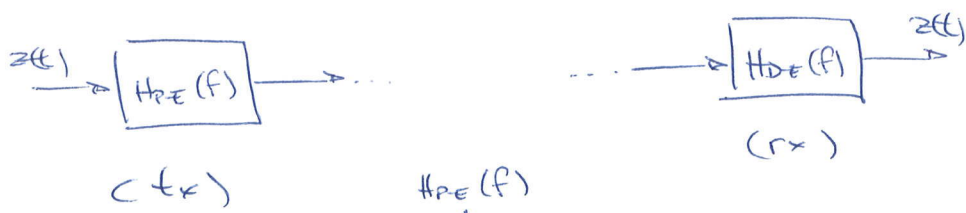
En el receptor podemos poner un filtro de deéñasis:



que elimina las frecuencias
altas del ruido

Problema: distorsiona la señal

Solución: proceso inverso en el transmisor



Se mantiene el término de señal y se reduce el ruido.

- Condiciones:

$$1 - \boxed{H_{P-E}(f) \cdot H_{D-E}(f) = 1}$$

2.- Que el filtro de preamplio no modifique sustancialmente las características de la señal.

- Mejorar:

$$N_S = 2 \int_0^B |H_{D-E}(f)|^2 \eta f^2 df$$

$$P_{N_S} = \frac{2}{3} \eta B^3$$

$$\boxed{\frac{(S/N)_{D-E}}{(S/N)_S} = \frac{1}{3} \frac{B^3}{\int_0^B |H_{D-E}(f)|^2 f^2 df}}$$

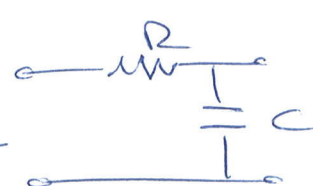
Aplicación para FM comercial:

$$f_o = 2,1 \text{ KHz}$$

$$W = 15 \text{ KHz}$$

$$\boxed{H_{P-E}(f) = 1 + \frac{f}{f_b}}$$

$$\boxed{H_{D-E}(f) = \frac{1}{1 + \frac{f}{f_b}}}$$



$$f_o = \frac{1}{2\pi RC}$$

Mejorar ~ 13dB

3.2.-EFECTO CÁPTURA

En FM, si 2 estaciones emiten con intensidad cercana al umbral, se pueden producir interferencias entre ambas.

No se detecta la suma de ambas, sino que se detecta una y la otra afecta como ruido.

Es consecuencia de la no linealidad.

3.3.-EFECTO DE DISTORSIÓN LINEAL

Sinal FM pasa por un filtro $H(f)$

→ se distorsiona la amplitud. No existe un problema. Decodificar en límbador

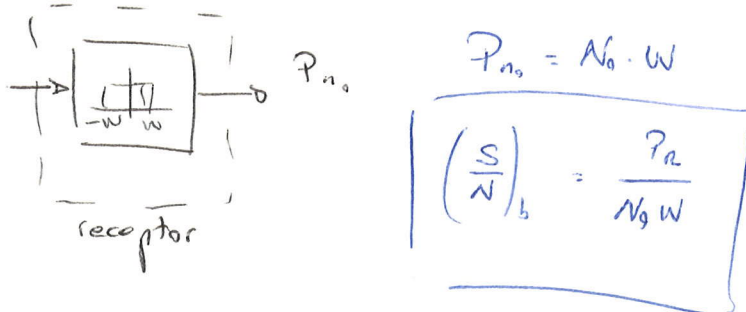
→ se distorsiona la fase: si H es lineal, afecta mucho a FM

EFECTO DEL RUIDO EN EL PROCESO DE DEMODULACION

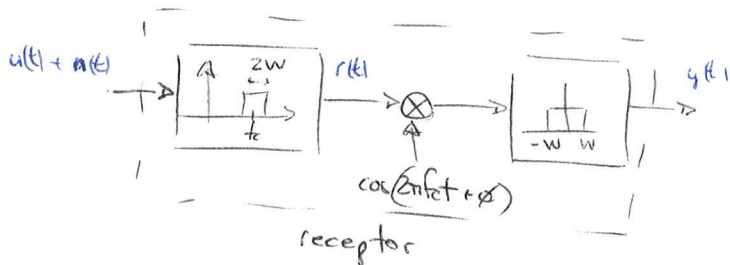
(Praktis - Salabia)

- SISTEMAS LINEALES:

- Banda base: para comparacion con los sistemas de modulacion



- DSB: $u(t) = A_c u(t) \cos(2\pi f_c t + \phi_c)$



$$r(t) = u(t) + n(t) = A_c u(t) \cos(2\pi f_c t + \phi_c) + u(t) \cos 2\pi f_c t - u(t) \sin 2\pi f_c t$$

$$r(t) \cdot \cos(2\pi f_c t + \phi) = \frac{1}{2} (A_c u(t) \cos(\phi_c - \phi) + A_c u(t) \cos(4\pi f_c t + \phi - \phi_c)) + \\ + \frac{1}{2} (u(t) \cos \phi + u(t) \sin \phi + u(t) \cos(4\pi f_c t + \phi) - u(t) \sin(4\pi f_c t + \phi))$$

$$y(t) = \frac{1}{2} A_c u(t) \cos(\phi_c - \phi) + \frac{1}{2} (u(t) \cos \phi + u(t) \sin \phi)$$

efecto del error
se hace en la
perturbación

$$\phi_c = \phi = 0 \Rightarrow y(t) = \frac{1}{2} (A_c u(t) + u(t)) \quad \leftarrow P_n = \frac{1}{4} 2W N_0$$

$$\left| -d \left(\frac{S}{N} \right)_{out} = \frac{\frac{A_c^2}{4} \cdot P_n}{\frac{1}{4} 2W N_0} = \frac{\frac{A_c^2}{2} P_n}{W N_0} = \frac{P_n}{W N_0} = \frac{P_n}{W N_0} \right|$$

• SSB: $u(t) = A_c \cos(\omega_m t) + A_c \hat{u} \sin(2\pi f_c t)$

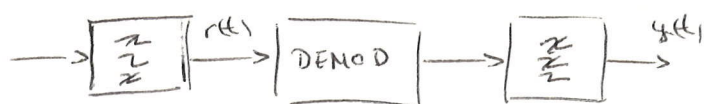
Entrada al demodulador:

$$r(t) = (A_c \cos(\omega_m t) + u_s(t)) \cos(2\pi f_c t) + (\pm A_c \hat{u} \sin(\omega_m t) - u_s(t)) \sin(2\pi f_c t)$$

Supone que no hay error de fase \Rightarrow salida del FPR es la componente en fase:

$$y(t) = \frac{A_c}{2} \cos(\omega_m t + \frac{1}{2} u_s(t)) \quad / \quad P_0 = \frac{A_c^2}{4} P_m$$

$$\rightarrow P_N = \frac{1}{4} \cdot \frac{N_0}{2} \cdot 2W = \frac{1}{4} W N_0$$



$$\left| \left(\frac{S}{N} \right)_{out} = \frac{A_c^2 P_m}{W N_0} = \frac{P_N}{W N_0} \right| \text{ equivalente a DSB}$$

• AM: $u(t) = A_c (1 + a \cdot m_a(t)) \cos(2\pi f_c t)$

Entrada del demodulador:

$$r(t) = (A_c (1 + a \cdot m_a(t)) + u_s(t)) \cos(2\pi f_c t) - u_s(t) \sin(2\pi f_c t)$$

a : índice de modulación

$$m_a(t) = \frac{u_a(t)}{\max(u_a)}$$

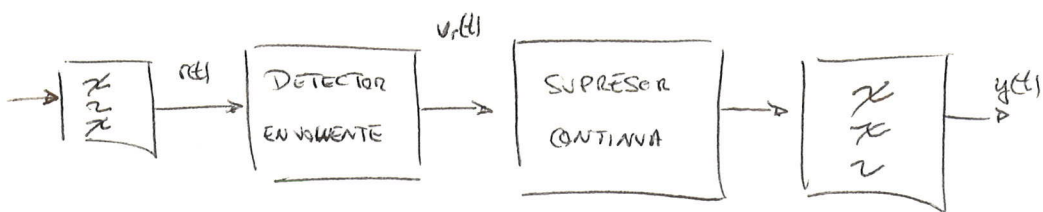
$$y(t) = \frac{1}{2} A_c a \cdot m_a(t) + \frac{u_s(t)}{2} \quad (\text{tarea: probar la continuidad})$$

$$\left| \begin{aligned} P_N &= \frac{A_c^2}{2} (1 + a^2 P_{M_a}) \\ \left(\frac{S}{N} \right)_{out} &= \frac{\frac{1}{4} A_c^2 a^2 P_{M_a}}{\frac{1}{4} P_N} = \frac{P_N}{N_0 W} \frac{a^2 P_{M_a}}{1 + a^2 P_{M_a}} \end{aligned} \right.$$

$$y = \frac{a^2 P_{M_a}}{1 + a^2 P_{M_a}} = \text{eficiencia de la modulación}$$

Efecto del Ruido en el Proceso de Demodulación

• AM con receptor incoherente:



$$r(t) = (A_c (1 + a \cdot m_a(t)) + u_a(t)) \cos 2\pi f_c t - u_s(t) \sin 2\pi f_c t$$

Envelope de $r(t)$:

$$V_r(t) = \sqrt{(A_c (1 + a \cdot m_a(t)) + u_a(t))^2 + u_s^2(t)}$$

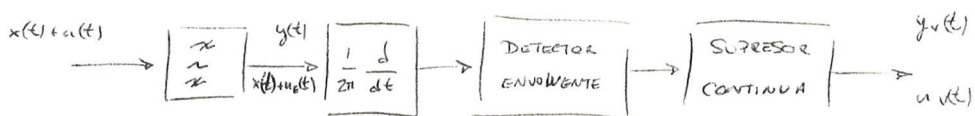
Supresión: componente de señal mucho mayor que componente de ruido

$$\Rightarrow V_r(t) \approx A_c (1 + a \cdot m_a(t)) + u_a(t)$$

\downarrow superior de continua

$$y(t) \approx A_c \cdot a \cdot m_a(t) + u_a(t)$$

• FM con receptor incoherente:



$$x(t) = A \cos(2\pi f_c t + \phi(t)) = 2e^{j\phi(t)} e^{j2\pi f_c t}$$

$$\frac{1}{2\pi} \frac{d\phi(t)}{dt} = f_a \cdot z(t)$$

$$u_a(t) = \operatorname{Re} \{ (u_f(t) + j u_s(t)) e^{j2\pi f_c t} \}$$

$$= \operatorname{Re} \{ \underbrace{A_u(t) e^{j\phi_u(t)}}_{u_{eq}(t)} \cdot e^{j2\pi f_c t} \}$$

$$y_{eq}(t) = x_{eq}(t) + u_{eq}(t) = A e^{j\phi(t)} + A_u(t) e^{j\phi_u(t)}$$

$$\Rightarrow |y_{eq}(t)| = \sqrt{(A + A_u \cos(\phi_u - \phi))^2 + A_u^2 \sin^2(\phi_u - \phi)}$$

La información va en la fase, no en la envolvente

$\Leftrightarrow \text{SNR}_e \uparrow \uparrow, |y_{eq}| \geq A \quad (\text{constante})$

$$\left\{ \begin{array}{l} \phi_y \geq \phi(t) + \frac{u_c(t)}{A} \\ A_y(t) \geq A \end{array} \right.$$

$\frac{1}{2\pi} \frac{d}{dt}$

$$\Rightarrow \frac{1}{2\pi} \frac{dy(t)}{dt} = -A \left(2\pi f_c + f_\Delta \cdot z(t) + \frac{1}{2\pi} \frac{du_c(t)}{dt} \cdot \frac{1}{A} \right), \sin \left(\frac{2\pi f_c t + \phi(t) + \frac{u_c(t)}{A}}{A} \right)$$

envolvente

tras lo superior de continua: $y_v(t) = A \cdot f_\Delta \cdot z(t) + \frac{1}{2\pi} \frac{du_c(t)}{dt}$

$\underbrace{\qquad\qquad\qquad}_{u_v(t)}$

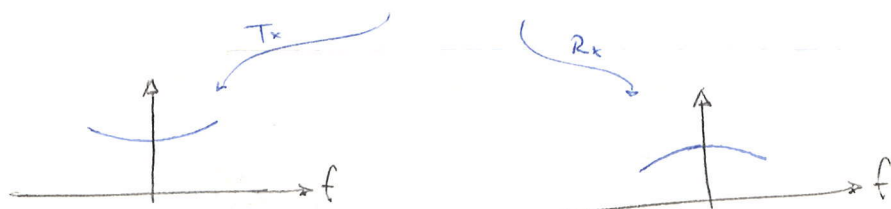
$$y_v(t) \xrightarrow{H_{RE}} \xrightarrow{\sim} A f_\Delta \cdot z(t) + u_v(t)$$

$S_s = 2 P_R \cdot f_\Delta^2 P_Z$

$N_s = \frac{2}{3} \gamma B^3$

$$\left(\frac{S}{N} \right)_s = \frac{P_R}{\gamma B} \cdot 3 \left(\frac{f_\Delta}{B} \right)^2 P_Z$$

\rightarrow preépsilon-deefasis: $H_{RE}(f) \cdot H_{DE}(f) = 1$



factor de mejoría: $\frac{(S/N)_{DE}}{(S/N)_s} = \frac{1}{3} \frac{B^3}{\int_0^B |H_{DE}(f)|^2 f^2 df}$